

بررسی قابلیت تصاویر IRS-P6-LISS IV برای تهیه نقشه انبوهی جنگل‌های پسته و حشی (مطالعه موردی: جنگل خواجه کلات خراسان)

فائزه سادات حسینی^{۱*}، علی‌اصغر درویش‌صفت^۲ و نصرت‌الله ضرغام^۳

^۱دانش‌آموخته کارشناسی ارشد دانشکده منابع طبیعی، دانشگاه تهران

^۲استاد و دانشیار گروه جنگل‌داری دانشکده منابع طبیعی، دانشگاه تهران

(تاریخ دریافت: ۱۰ / ۸۹، تاریخ پذیرش: ۱۶ / ۹۱)

چکیده

به منظور بررسی قابلیت تصاویر ماهواره‌ای در تهیه نقشه انبوهی جنگل‌های پسته و حشی، داده‌های سنجنده LISS IV ماهواره IRS-P6 با اندازه تفکیک مکانی ۵ متر مربوط به سال ۱۳۸۶ تجزیه و تحلیل شد. این مطالعه در منطقه‌ای به وسعت ۵۰۰ هکتار در خواجه کلات استان خراسان رضوی اجرا شد. تصحیح هندسی تصویر با استفاده از نقاط کنترل استخراج شده از تصویر ارتوشده دیگری از منطقه، انجام شد. خطای RMS کمتر از یک پیکسل بود. علاوه بر باندهای اصلی، چند باند مصنوعی حاصل از پردازش‌هایی مانند نسبت‌گیری و مؤلفه‌های اصلی، در تجزیه و تحلیل‌ها استفاده شد. مجموعه باندهای مناسب طبقه‌بندی بر اساس معیار واگرایی و نمونه‌های تعلیمی انتخاب شد. برای ارزیابی صحت نتایج طبقه‌بندی، یک نقشه واقعیت زمینی نمونه‌ای شامل ۳۴ قطعه ۱ هکتاری با پراکنش منظم تصادفی، تهیه و درصد تاج پوشش درختان موجود در این قطعه‌ها در طبقات انبوهی ۰-۵، ۵-۱۰، ۱۰-۱۵، ۱۵-۲۰ و بیش از ۲۰ درصد بر روی زمین برآورد شد. طبقه‌بندی تصاویر با استفاده از روش‌های حداقل فاصله از میانگین، حداکثر تشابه و فازی در ابتدا با پنج طبقه انبوهی انجام گرفت. به دلیل تفکیک‌پذیری کم بین برخی از طبقه‌ها، این طبقه‌ها در هم ادغام و طبقه‌بندی با سه طبقه انبوهی (۰-۵، ۵-۲۰ و ۲۰ درصد) تکرار شد. در طبقه‌بندی اخیر، صحت کلی و ضریب کاپا به ترتیب ۷۰ درصد و ۰/۴۴ برآورد شد. بیشترین ضریب کاپا مربوط به طبقه ۲ انبوهی (۵-۲۰ درصد) و برابر با ۰/۵۰ بود. هر چند که صحت کلی ۷۰ درصد برای طبقه‌بندی سه طبقه‌ای را می‌توان به نسبت خوب ارزیابی کرد، ولی با توجه به ضریب کاپا کم (۰/۴۴) در مجموع نتایج طبقه‌بندی را نمی‌توان مطلوب دانست. از این‌رو این داده‌ها از قابلیت لازم برای تهیه نقشه انبوهی جنگل‌های پسته و حشی به‌طور اجرایی، برخوردار نیست.

واژه‌های کلیدی: سنجنده LISS IV، واقعیت زمینی، نقشه انبوهی، جنگل پسته و حشی، طبقه‌بندی.

و رایج‌ترین خوارزمیک طبقه‌بندی کننده یاد می‌شود (ساعی و آبکار، ۱۳۸۳؛ ساروئی، ۱۳۷۸؛ لطیفی و همکاران، ۱۳۸۶). وقتی که از روش طبقه‌بندی نظارت‌شده سخت استفاده می‌شود، پدیده‌های زمینی که ابعاد کوچک‌تر از یک پیکسل دارند و به وسیلهٔ پدیده‌های بزرگ احاطه شده‌اند، مبهم یا محو می‌شوند. به‌کمک روش طبقه‌بندی نرم می‌توان اطلاعات مفیدی را در مورد پیکسل‌های مخلوط و پیکسل‌های واقع در مرز بین پدیده‌ها به دست آورد. تا کنون مطالعات زیادی در داخل و خارج از کشور در زمینه استفاده از داده‌های ماهواره‌ای برای تهیه نقشهٔ انبوهی جنگل انجام گرفته است. ساروئی (۱۳۷۸) امکان طبقه‌بندی جنگل از نظر تراکم در جنگل‌های زاگرس را به‌کمک داده‌های سنجندهٔ TM ماهواره لندست بررسی کرد. بیشترین صحت کلی و ضریب کاپا به ترتیب ۷۰ درصد و ۰/۴۵ با طبقه‌بندی کنندهٔ حداکثر تشابه و با ۳ کلاسۀ تراکم ۱-۲۵، ۰/۷۵ و بیش از ۷۵ درصد به دست آمد. شاهبایی (۱۳۸۳) قابلیت داده‌های سنجندهٔ ETM+ از ماهواره لندست ۷ را در تهیه نقشه‌های تیپ و تراکم جنگل در گرگان بررسی کرد. صحت کلی و ضریب کاپا در تیپ‌بندی به ترتیب ۶۳ درصد و ۰/۳۹ و برای طبقات تراکمی به ترتیب ۵۸/۱۹ و ۰/۴۱ گزارش شد. پاکخصال (۱۳۸۵) قابلیت داده‌های IRS LISS III و Landsat ETM+ را برای تهیه نقشهٔ تراکم تاج‌پوشش جنگل در گیلان بررسی کرد. صحت کلی و ضریب کاپا در طبقه‌بندی داده‌های LISS III به روش حداکثر تشابه، به ترتیب ۷۲ درصد و ۰/۵۱ برآورد شد. این مقادیر برای طبقه‌بندی داده‌های ETM+ با استفاده از مدل^۱ FCD، به ترتیب ۷۲/۲۱ درصد و ۰/۶۱ به دست آمد. رجب‌پور (۱۳۸۷)، به‌منظور ارزیابی قابلیت ماهواره SPOT5 در تهیه نقشهٔ انبوهی جنگل‌های دیلمان گیلان با استفاده از روش حداکثر تشابه و چهار کلاسۀ انبوهی، صحت کلی و ضریب کاپای به ترتیب ۷۴ درصد و ۰/۳۳ را به دست آورد. پرما (۱۳۸۸) در ارزیابی قابلیت داده‌های IRS-P6-LISS III برای تهیه نقشهٔ تراکم تاج‌پوشش جنگل قلاچه استان کرمانشاه، با استفاده از روش حداکثر تشابه و دو طبقهٔ تراکمی تنک و نیمه‌انبوه، صحت کلی و ضریب کاپای به ترتیب ۷۵ درصد و ۰/۴۶ را گزارش داد.

مقدمه و هدف

رویشگاه‌های طبیعی پسته خراسان رضوی به عنوان یکی از مجموعه پوشش‌های جنگلی کشور، علاوه بر ویژگی‌های اکولوژیکی خاص، تأثیرات مهمی بر زندگی مردم منطقه دارد. گونهٔ پسته وحشی (*Pistacia vera*) فقط در این ناحیه از ایران ظاهر می‌شود (فدائی، ۱۳۸۶). بهره‌برداری از این درختان موجب شده که این توده‌ها همانند بسیاری از مناطق جنگلی دستخوش تغییرات شدید و تخریب‌هایی شود، از این‌رو تلاش برای حفظ رویشگاه‌های طبیعی این گونه که امروزه تنها سطح اندکی از جنگل‌های نیمه‌انبوه آن باقی مانده است ضرورت دارد. برای شناسایی و مدیریت این اکوسیستم با ارزش به نقشه‌های موضوعی مرتبط با جنگل نیاز است. آگاهی از وضعیت انبوهی (درصد تاج‌پوشش) این جنگل‌ها برای اجرای رویکردهای مدیریت و کنترل (حفظ و احیای) از مهم‌ترین اقدامات اولیه‌ای است که در شناسایی این جنگل‌ها ضرورت پیدا می‌کند. روش‌های مختلفی به منظور دستیابی به این اطلاعات وجود دارد که بیشتر آنها نیازمند صرف زمان طولانی و هزینهٔ زیاد است. سنجش‌از دور ماهواره‌ای با کمک داده‌های چندطیفی با توان تفکیک زیاد می‌تواند گزینه‌ای مناسب در این زمینه باشد و نقش مهمی را در به دست آوردن اطلاعات به‌هنگام ایفا کند. نتایج تحقیقات سنجش‌از دور در شرایط متنوع رویشگاهی و وضعیت جنگل بسیار متفاوت بوده است. از این‌رو ضروری است که قابلیت داده‌های ماهواره‌ای در شرایط مختلف تعیین و با یکدیگر مقایسه شوند. از نتایج این گونه مقایسه‌ها می‌توان در انتخاب داده‌های ماهواره‌ای در کارهای اجرایی استفاده کرد. متأسفانه در حال حاضر اطلاعات کافی در مورد جنگل پسته وحشی خواجه‌کلات وجود ندارد و این نوع اطلاعات بیشتر پرآنده‌اند. ارزیابی تصاویر ماهواره‌ای به عنوان یکی از راه‌های تهیه اطلاعات، نه تنها در مورد محاسبهٔ انبوهی، بلکه در خصوص دیگر مشخصه‌های کمی این جنگل‌ها نیز صورت نگرفته است.

طبقه‌بندی، یکی از متدالول ترین روش‌ها برای استخراج اطلاعات موضوعی است. در بیشتر مطالعات و تحقیقات در زمینهٔ طبقه‌بندی تصاویر ماهواره‌ای از خوارزمیک طبقه‌بندی کننده سخت حداکثر احتمال به عنوان دقیق‌ترین

نشده است و از سویی دیگر، تفاوت زیاد ویژگی‌های این جنگل‌ها با جنگل‌های مناطق رویشی خزری و زاگرسی سبب می‌شود که نتوان از نتایج دیگر تحقیقات استفاده کرد. از این‌رو هدف اصلی این تحقیق تعیین توانمندی داده‌های سنجنده LISS-IV ماهواره IRS-P6 برای تهیه نقشه‌انبوهی جنگل‌های پسته وحشی در بخشی از جنگل‌های خراسان است تا در صورت تأیید قابلیت این داده‌ها، بتوان از آن به صورت اجرایی در تأمین بخشی از اطلاعات لازم در مدد بیت و بایش، منابع استفاده کرد.

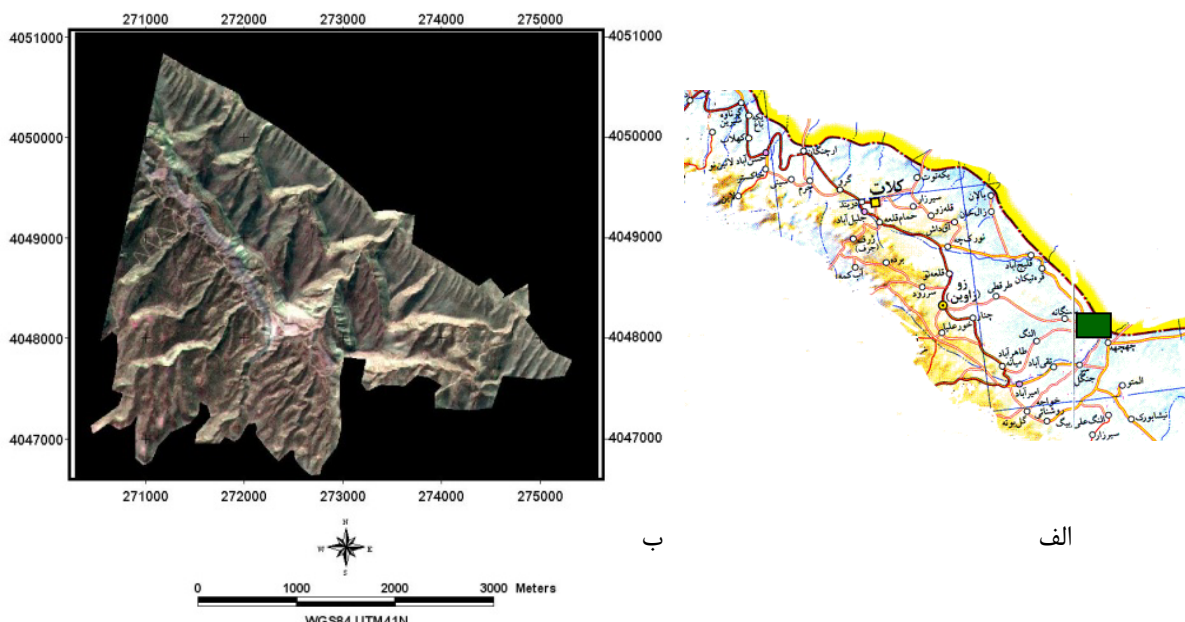
مداد و مواد

- منطقہِ موہبدیہ (سے)

منطقه جنگلی خواجه کلات در فاصله ۱۴۰ کیلومتری شمال شرق شهرستان مشهد، در بخش شرقی ارتفاعات هزار مسجد و نزدیک مرز ترکمنستان واقع شده است. این منطقه در محدوده غرافیایی $58^{\circ} ۲۰' \text{ تا } ۵۵^{\circ} ۲۷'$ طول شرقی و $۳۶^{\circ} ۳۲' \text{ تا } ۳۷^{\circ} ۴۸'$ عرض شمالی و در دامنه ارتفاعی $۵۰۰ \text{ تا } ۱۲۴۳$ متر از سطح دریا قرار دارد (خسروجردی، ۱۳۸۸). تیپ خالص پسته و حشی کل محدوده جنگلی این سامان را به خود اختصاص داده است (شکل ۱).

Wang *et al.* (1998) PAN داده‌های لنdest تM و تصویر IRS-1C را به منظور طبقه‌بندی تراکمی جنگل در منطقه‌ای در جنوب فنلاند، ادغام کردند. نتایج نشان داد که در مقایسه با استفاده از تصاویر TM یا IRS به تنها‌یای، با داده‌های ادغام شده، صحت طبقه‌بندی افزایش می‌یابد. برای طبقه‌بندی چهار کلاس‌های، صحت کلی $70/2$ درصد و ضریب کاپا $0/46$ به دست آمد. McMahan *et al.* (2003) به منظور طبقه‌بندی پوشش گیاهی در جنوب شرق ایالت آیدaho در آمریکا، روش‌های طبقه‌بندی فازی و حداقل تشابه را مقایسه کردند. صحت کلی روش‌های حداقل تشابه و فازی به ترتیب $47/5$ درصد و $50/5$ درصد به دست آمد. Xu *et al.* (2003) در تحقیقی قابلیت داده‌های ماهواره‌ای را در برآورد تاج‌پوشش جنگل‌های بلوط کالیفرنیا بررسی کردند. نتایج نشان دهنده قابلیت خوب باندهای قرمز، مادون قرمز و آبی در برآورد تاج‌پوشش جنگل است. Berberoglu & Satir (2008) به منظور طبقه‌بندی تیپ‌های مختلف جنگلی در منطقه مدیترانه‌ای ترکیه از روش‌های طبقه‌بندی نرم و سخت استفاده کردند. صحت کلی برای این

اهمیت جنگل‌های پسته وحشی ایران موجب شده است که ایده تهیه نقشه‌های موضوعی آن با استفاده از داده‌های ماهواره‌ای مطرح شود. قابلیت تصاویر در این جنگل‌ها بررسی

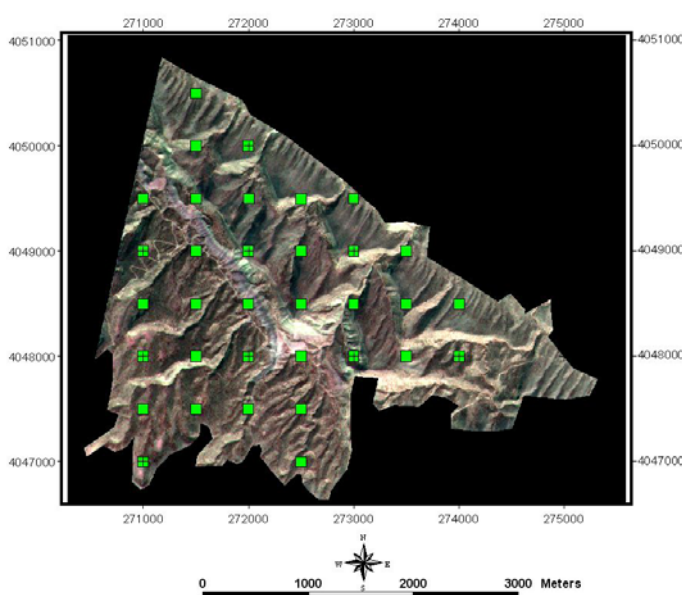


شکل ۱- موقعت منطقه مورد بررسی در استان خراسان رضوی (الف) و تصویر ماهواره‌ای نگه منطقه تحقیق (ب)

منابع طبیعی استان خراسان رضوی طبقات تراکمی جدیدی برای این جنگل‌ها تعریف کرده است که شامل ۵ طبقه انبوی تاج‌پوشش $0\text{--}5$ ، $5\text{--}10$ ، $10\text{--}15$ و $15\text{--}20$ و بیشتر از 20 درصد است، و عملاً توده‌های متراکم‌تر وجود ندارد. در تحقیق حاضر، از این طبقات تراکمی استفاده شد.

- نقشه واقعیت زمینی

برای برآورد صحت نقشه‌های حاصل از داده‌های ماهواره‌ای، نقشه واقعیت‌زمینی نمونه‌ای از منطقه مورد بررسی تهیه شد. شبکه‌ای به ابعاد 500×500 متر و 34 قطعه به مساحت ۱ هکتار به طور منظم تصادفی روی نقشه توپوگرافی منطقه طراحی شد. این نقاط با استفاده از GPS در جنگل بازیابی شدند. در جنگل مورد بررسی بهدلیل کم بودن قطر برابرینه درختان، نمی‌توان از این مشخصه در تفکیک طبقات انبوی جنگل استفاده کرد. با مدنظر قرار دادن این نکته که بازتاب عمدۀ ثبت‌شده در تصاویر ماهواره‌ای مربوط به تاج‌پوشش است، از مشخصه درصد تاج‌پوشش درختان برای محاسبۀ انبوی تاج‌پوشش استفاده شد. با جنگل‌گردشی در داخل هر قطعه نمونه و مشاهده کل قطعه نمونه از نقطه‌ای مرتفع مشرف بر آن، درصد تاج‌پوشش بر اساس تخمین تصویر افقی تاج درختان روی زمین و تعیین طبقه انبوی آن برآورد شده و نقشه واقعیت‌زمینی در پنج کلاسه انبوی $0\text{--}5$ ، $5\text{--}10$ ، $10\text{--}15$ و بیش از 20 درصد برای هر قطعه نمونه تهیه شد. در شکل ۳، قطعات نمونه واقعیت‌زمینی روی تصویر ماهواره‌ای منطقه مورد بررسی، نشان داده شده است.



شکل ۳- قطعات نمونه واقعیت‌زمینی روی تصویر ماهواره‌ای

گونه‌های درختچه‌ای نظیر قیچ و بادام‌کوهی به صورت بسیار پراکنده به عنوان گونه همراه در این جنگل مشاهده می‌شود. فرم پرورشی این جنگل شاخه و دانه‌زاد است. آب و هوای منطقه، کویری با تابستان‌های گرم و زمستان‌های سرد، بارندگی کم، پوشش گیاهی به صورت درختی با ارتفاع کم و درختچه‌ای و بوته‌ای است. (بی‌نام، ۱۳۸۸). تحقیق حاضر در بخشی از این جنگل‌ها به وسعت ۵۰۰ هکتار که در تصویر ماهواره‌ای به نگام منطقه قرار داشت، انجام گرفته است. این منطقه کوچک دارای حالت تپه‌ماهوری و نیمه‌کوهستانی با ارتفاع متوسط ۵۴۰ متر است (شکل ۲).



شکل ۲- سیمای طبیعی بخشی از منطقه مورد بررسی

- داده‌های مورد استفاده

پنجره‌ای از داده‌های سنجنده LISS P6 ماهواره IV با سه باند طیفی B2، B3 و B4 با اندازه تفکیک مکانی ۵ متر مربوط به ۳۱ جولای ۲۰۰۷ میلادی از سازمان جغرافیایی نیروهای مسلح دریافت و تجزیه و تحلیل شد. همچنین از نقشه توپوگرافی منطقه (ویرایش سال ۱۳۸۸ هجری شمسی) با مقیاس $1:50000$ برای تهیه لایه بُرداری جاده‌ها و آبراهه‌ها به منظور کنترل تصحیح هندسی تصاویر و یک پنجره از تصویر IRS-P6 تصحیح‌هندسی شده توسط سازمان نقشه‌برداری کشور مربوط به سال ۲۰۰۷ میلادی به عنوان مبنای تصحیح هندسی استفاده شد.

- طبقه‌بندی تراکم جنگل

در جنگل پسته خواجه‌کلات بهدلیل کم تراکم بودن درختان و تاج‌پوشش جنگل نمی‌توان از طبقات تراکمی تعریف شده از سوی شورای عالی جنگل، مرتع و خاک سازمان جنگل‌ها، مراعع و آبخیزداری کشور بهره برد. لذا اداره کل

حداکثر تشابه و حداقل فاصله از میانگین انجام گرفت. پس از انتخاب نمونه‌های تعلیمی با بررسی نمودار، مشخصه‌های آماری، تفکیک پذیری نمونه‌ها و طبقه‌بندی اولیه تصاویر و اصلاح و بازبینی نمونه‌ها، بهترین نمونه‌های تعلیمی برای اصلاح و بازبینی نمونه‌ها، حدود ۱/۴ درصد از طبقه‌بندی تعیین شد. این نمونه‌ها، حدود ۱/۴ درصد از مساحت منطقه مورد بررسی را دربر می‌گرفت. با استفاده از نمونه‌های تعلیمی و بر اساس معیارهای فاصله باتاچاریا^۳ و واگرایی^۴ تبدیل شده (Richards & Jia, 2006)، مقدار همبستگی باندها و نمودار ارزش‌های طیفی طبقه‌های تراکمی بهترین مجموعه‌های باندی انتخاب شد. با توجه به اینکه با استفاده از این روش طبقه‌بندی فازی می‌توان اطلاعات مفیدی را در مورد پیکسل‌های مخلوط به دست آورد، طبقه‌بندی فازی نیز با استفاده از مجموعه نمونه‌های تعلیمی تهیه شده و مجموعه باندهای مختلف انجام گرفت. حاصل هر طبقه‌بندی فازی، چند تعدادی تصویر برابر با تعداد کلاسه‌های تعریف شده است. این تصاویر برای ارزیابی صحت به نتایج قطعی تبدیل شد.

جدول ۱- بهترین مجموعه‌های باندی انتخاب شده

| ترتیب اولویت | مجموعه‌های باندی |
|--------------|--|
| ۱ | PCA1(B1,2,3), PVI3, DVI |
| ۲ | PVI1, PCA1(B2,3,4), PVI3, DVI |
| ۳ | PVI1, PVI2, PVI3, DVI |
| ۴ | B2,B3, PCA1(B2,3,4), PVI3, WDVI |
| | PVI: Perpendicular Vegetation Index, DVI: difference Vegetation Index, WDVI: Weighted Vegetation Index |

از آنجا که ضریب کاپای طبقات بیانگر تشابه و تداخل طیفی زیاد بین طبقه‌های ۲، ۳ و ۴ انبوهی بود، طبقه‌بندی با سه کلاس انبوهی (۵-۰، ۰-۵ و بیش از ۲۰ درصد) تکرار شد. انتخاب بهترین نمونه‌های تعلیمی و مجموعه‌های باندی برای طبقه‌بندی سه کلاسه‌ای نیز تکرار شد. سپس به منظور حذف پیکسل‌های منفرد، فیلتر مُد در پنجره‌ای به ابعاد 7×7 پیکسل (35×35 متر) اجرا شد. نتایج حاصل از طبقه‌بندی تصاویر به صورت پیکسل به پیکسل با نقشه واقعیت زمینی

- بررسی کیفیت و تصحیح هندسی داده‌ها تصاویر از نظر وجود خطاهای اتفاقی رادیومتری از طریق نمایش تصویر، بررسی شد. روی هم گذاری لایه بُرداری جاده با تصاویر ماهواره‌ای، عدم تطابق هندسی دقیق داده‌ها با نقشه را نشان داد. برای این بردن خطای هندسی LISS-IV که پیشتر تصاویر، از یک تصویر زمین مرجع شده به عنوان مبنای استفاده شد و تطابق هندسی تصویر به تصویر انجام گرفت. در این فرایند با استفاده از روش چندجمله‌ای ۹ نقطه کنترل با معادله درجه اول و روش نمونه‌گیری مجدد نزدیک‌ترین همسایه، تصحیح هندسی تصاویر باندهای مختلف با اندازه تفکیک ۵ متر انجام گرفت.

- پردازش تصاویر باندهای مصنوعی متعددی با تبدیل‌های طیفی مختلف بر روی باندهای اصلی از جمله تحلیل مؤلفه‌های اصلی^۱ و شاخص‌های گیاهی^۲ ایجاد و استفاده شد. برای کاهش نقش بازتاب خاک در جنگل مورد مطالعه که تراکم پوشش گیاهی آن کم است، شاخص‌های متداول پوشش گیاهی مبتنی بر خط فرضی خاک حاصل از نمودار دو بعدی باندهای قرمز و مادون قرمز نزدیک (علوی‌پناه، ۱۳۸۲) محاسبه شد. در این زمینه بخش‌هایی از منطقه که بدون پوشش گیاهی بود، ضمن کارهای میدانی تعیین شد و برآراش خطی بین DN باندهای قرمز و مادون قرمز نزدیک انجام گرفت. مشخصه‌های خط خاک (شیب و اضافه ثابت) به دست آمده از این برآراش‌ها در محاسبات شاخص‌ها به کار گرفته شد. همچنین از تحلیل مؤلفه‌های اصلی با هدف فشرده‌سازی اطلاعات (درویش‌صفت و همکاران، ۱۳۹۰) استفاده شد. باندهای مصنوعی تولید شده به همراه باندهای اصلی در تجزیه و تحلیل داده‌ها مورد استفاده قرار گرفت (جدول ۱).

- طبقه‌بندی تصاویر و ارزیابی صحت در آغاز براساس اطلاعات حاصل از بازدید میدانی و به منظور تفکیک کلاسه‌های انبوهی تاج‌پوشش، طبقه‌بندی اولیه پنج کلاسه‌ای با استفاده از خوارزمیک‌های سخت

نتایج

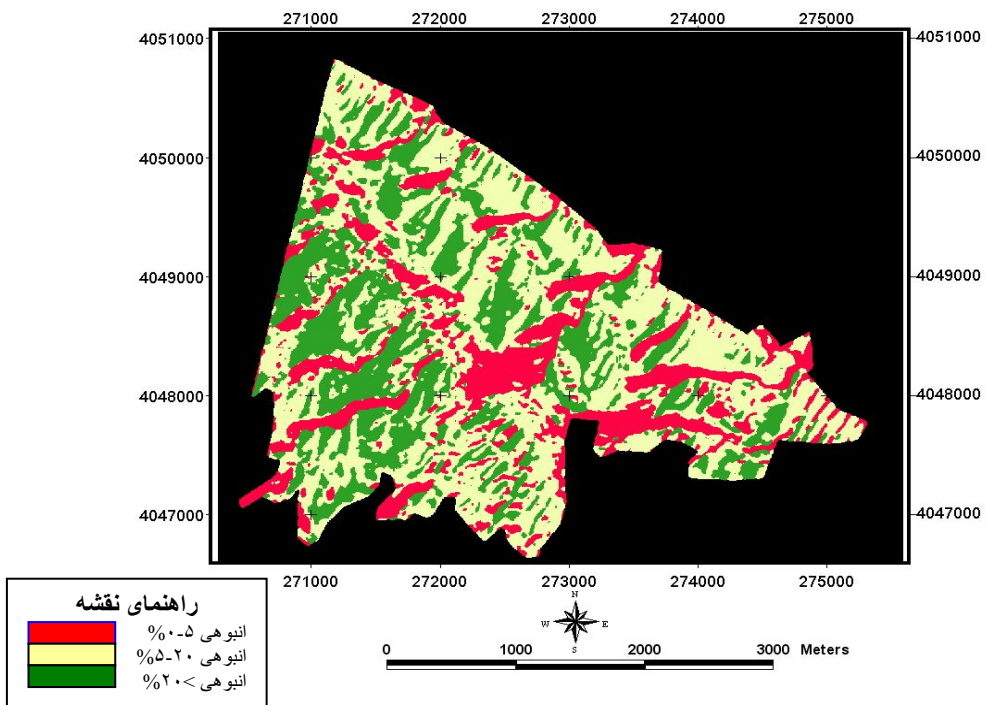
تصحیح هندسی تصویر با خطای زیر یک پیکسل (کمتر از ۵ متر) انجام گرفت و انطباق بسیار خوب لایه بُرداری جاده و آبراهه حاصل از نقشه توپوگرافی ۱:۵۰۰۰ روی تصویر تصحیح هندسی شده، حاکی از درستی و دقت فرایند تصحیح هندسی است.

مجموع مساحت ۳۴ قطعه نمونه واقعیت زمینی، ۷ درصد سطح منطقه مورد بررسی است. نتایج انتخاب بهترین مجموعه‌های باندی بر اساس حد تفکیک‌پذیری آنها نشان داد که مجموعه سه باندی (PVI3, DVI و PCA1(B1,2,3) مقایسه سه باندی را دربر داشت. نتایج به دست آمده از طبقه‌بندی‌ها با واقعیت زمینی به صورت پیکسل به پیکسل ۷×۷ درصد شد. اجرای فیلتر مد در پنجره‌ای به ابعاد ۳ پیکسل روی طبقه‌بندی موجب افزایش صحت به مقدار ۳ درصد شد. نتایج به دست آمده برای هر کدام از خوارزمیک‌ها در جدول ۲ و نقشه‌های به دست آمده از طبقه‌بندی‌های حداکثر تشابه و فازی در شکل‌های ۴ و ۵ آورده شده است.

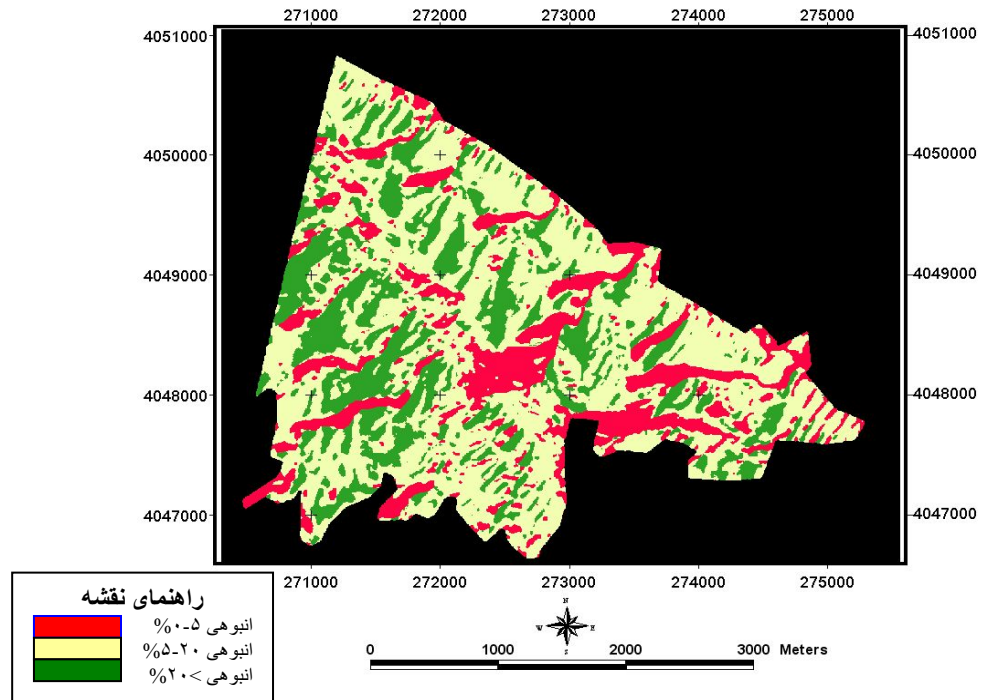
مقایسه و جدول خطا تشکیل شد. براساس این جدول، معیارهای صحت کلی و ضریب کاپای کل و ضریب کاپای هر طبقه، محاسبه شد. طبقه‌بندی اولیه با پنج کلاسۀ انبوهی با خوارزمیک نرم فازی نیز انجام گرفت. خروجی این طبقه‌بندی پنج تصویر بهاری پنج کلاسۀ انبوهی و یک تصویر عدم اطمینان^۱ بود. به منظور اطمینان از درستی طبقه‌بندی، میانگین عدم اطمینان در هر کلاسۀ محاسبه شد. نتایج بیانگر عدم اطمینان زیاد سه کلاسۀ ۲، ۳ و ۴ انبوهی (۵-۱۰، ۱۰-۱۵ و ۱۵-۲۰ درصد) بود، به منظور افزایش صحت طبقه‌بندی، این سه کلاسۀ در هم ادغام و طبقه‌بندی با سه کلاسۀ انبوهی تکرار شد. استخراج میانگین عدم اطمینان حاصل از طبقه‌بندی سه کلاسۀ ای نشان‌دهنده اطمینان بیشتر این طبقه‌بندی بود. به منظور تهیه یک تصویر قطعی و ارزیابی صحت طبقه‌بندی فازی، مقدار عضویت هر کلاسۀ پیکسل به پیکسل مقایسه شد و هر پیکسل به کلاسۀ ای که دارای بالاترین عضویت در آن بود، تعلق گرفت. تصویر قطعی به دست آمده نیز مورد ارزیابی صحت قرار گرفت.

جدول ۲- نتایج بررسی صحت نقشه کلاسۀ‌های انبوهی حاصل از طبقه‌بندی تصاویر

| خوارزمیک | | | | | | | | | | طبقه‌بندی سه کلاسۀ ای | |
|--------------|-----------------------|------------------|------------|-----------------------|------------------|------------|-----------------------|------------------|------------|-----------------------|--|
| حداکثر تشابه | | | | حداقل فاصله | | | | فازی | | | |
| صحت کلی | ۵۰ درصد | ۴۰ درصد | ۴۵ درصد | کاپای کلی | ۰/۳۱ | ۰/۲۲ | ۰/۲۷ | کاپای کلی | ۰/۲۷ | | |
| کلاسۀ انبوهی | صحت تولیدکننده (درصد) | صحت کاربر (درصد) | کاپای طبقه | صحت تولیدکننده (درصد) | صحت کاربر (درصد) | کاپای طبقه | صحت تولیدکننده (درصد) | صحت کاربر (درصد) | کاپای طبقه | | |
| ۱ | ۶۴ | ۶۳ | ۰/۴۰ | ۶۱ | ۶۸ | ۰/۳۴ | ۶۸ | ۶۲ | ۰/۳۹ | | |
| ۲ | ۹ | ۴۴ | ۰/۳۴ | ۳۱ | ۲۹ | ۰/۱۷ | ۴۷ | ۲۷ | ۰/۱۴ | | |
| ۳ | ۳۳ | ۴۲ | ۰/۲۷ | ۲۰ | ۲۴ | ۰/۰۵ | ۲۴ | ۳۷ | ۰/۲۰ | | |
| ۴ | ۶۵ | ۴۰ | ۰/۱۹ | ۳۰ | ۴۳ | ۰/۲۲ | ۱۸ | ۴۱ | ۰/۱۹ | | |
| ۵ | ۶۰ | ۶۵ | ۰/۴۹ | ۵۸ | ۵۶ | ۰/۳۵ | ۷۲ | ۶۰ | ۰/۴۰ | | |
| خوارزمیک | | | | | | | | | | | |
| حداکثر تشابه | | | | حداقل فاصله | | | | فازی | | طبقه‌بندی سه کلاسۀ ای | |
| صحت کلی | ۶۷ درصد | ۵۹ درصد | ۷۰ درصد | کاپای کلی | ۰/۴۰ | ۰/۳۰ | ۰/۴۴ | کاپای کلی | ۰/۴۴ | | |
| کلاسۀ انبوهی | صحت تولیدکننده (درصد) | صحت کاربر (درصد) | کاپای طبقه | صحت تولیدکننده (درصد) | صحت کاربر (درصد) | کاپای طبقه | صحت تولیدکننده (درصد) | صحت کاربر (درصد) | کاپای طبقه | | |
| ۱ | ۶۹ | ۵۲ | ۰/۲۷ | ۵۹ | ۶۳ | ۰/۴۰ | ۶۸ | ۶۸ | ۰/۳۴ | | |
| ۲ | ۶۱ | ۸۲ | ۰/۵۴ | ۵۶ | ۸۵ | ۰/۶۰ | ۷۰ | ۸۱ | ۰/۵۰ | | |
| ۳ | ۷۳ | ۵۸ | ۰/۳۸ | ۶۳ | ۴۶ | ۰/۲۰ | ۶۸ | ۶۱ | ۰/۴۲ | | |



شکل ۴- نقشه حاصل از طبقه‌بندی سه کلاس‌های با استفاده از خوارزمیک حداقل تشابه



شکل ۵- نقشه حاصل از طبقه‌بندی سه کلاس‌های با استفاده از خوارزمیک طبقه‌بندی فازی

بر اساس نتایج حاصل از جدول خطای مربوط به تصاویر حاصل از طبقه‌بندی کننده‌های سخت و نرم با مجموعه‌های باندی مختلف، طبقه‌بندی سه کلاس‌های (۰-۵، ۵-۲۰ و بیش از ۲۰ درصد) با استفاده از روش نرم فازی و با مجموعه سه باندی با تفاوت اندک نسبت به روش سخت حداقل تشابه، بهترین نتیجه را در برداشت. شایان ذکر است که مجموعه سه

بحث
در چنین تحقیقاتی که قابلیت تصویری بررسی می‌شود، واقعیت زمینی نقش بسیار مهمی دارد. به دلیل نبود عکس‌های هوایی بزرگ مقیاس و بهنگام از منطقه برای تهیه نقشه واقعیت زمینی این نقشه به صورت کیفی و نمونه‌ای در سطحی معادل ۷ درصد وسعت منطقه مورد بررسی تهیه شد.

تفکیک مکانی زیاد، ممکن است ناشی از باز بودن تاج پوشش و تداخل طیفی خاک زمینه با تاج پوشش باشد، هر چند که شاخص‌های خط خاک نیز برای حذف اثر زمینه، محاسبه و استفاده شد. بزرگ بودن مساحت قطعات برداشت شده برای تهیه نقشه واقعیت‌زمینی نیز ممکن است نقش مؤثری داشته باشد. زیاد بودن مساحت این قطعات (۱۰ هکتار) سبب می‌شود که برآورد درصد تاج پوشش و تعیین کلاسه مربوط مشکل باشد. در صورت کوچک‌تر بودن قطعات نمونه و محاسبه تاج پوشش به روش کمی، می‌توان درصد تاج پوشش در آن را با اطمینان بیشتری برآورد کرد و نتایج مقایسه نقشه واقعیت‌زمینی با تصاویر طبقه‌بندی شده دقیق‌تر و صحیح‌تر خواهد بود. همچنین اگرچه سنجنده مورد استفاده در این تحقیق دارای توان تفکیک مکانی بیشتری نسبت به بسیاری از داده‌های مورد استفاده در دیگر تحقیقات مشابه است (ساروئی، ۱۳۷۸؛ رفیعیان، ۱۳۸۲؛ شاهبابایی، ۱۳۸۳)، توان تفکیک طیفی کمتر و در حقیقت تعداد باندهای طیفی کمتر ممکن است موجب این تفاوت و ارائه نتایج نه‌چندان مطلوب شده باشد. البته شرایط رویشگاهی در جنگل‌های پسته وحشی با جنگل‌های شمال و غرب کشور نیز متفاوت است. این جنگل‌ها در مقایسه با دیگر جنگل‌های ایران از نظر نوع گونه، قطر، ارتفاع، پراکنش و تراکم، شرایط رویشگاهی و ساختار متفاوتی دارند. پوشش جنگلی تنک، تغییرات تدریجی انبوهی، نزدیک و مشابه بودن طبقه‌های انبوهی، ممکن است بر نتایج تحقیق تأثیر گذاشته باشد. مقایسه نتایج حاصل از طبقه‌بندی کننده‌های سخت و نرم در این تحقیق بیانگر تفاوت اندک در صحت نتایج به دست آمده است. این نکته با نتیجه‌گیری‌های بعضی از تحقیقات پیشین (Berberoglu & Satir, 2008; McMahan *et al.*, 2010; Amici *et al.*, 2003) همسو نیست. در این پژوهش‌ها صحت حاصل از طبقه‌بندی نرم فازی تفاوت بیشتری را نسبت به روش‌های سخت نشان داد. این تفاوت اندک ممکن است ناشی از اندازه تفکیک کوچک داده‌های رقومی مورد استفاده و درنتیجه کم بودن تعداد پیکسل‌های مخلوط باشد. زیرا اندازه تفکیک زیاد داده‌های ماهواره‌ای، یکی از عوامل ایجاد پیکسل‌های مخلوط است. بنابراین توصیه می‌شود تنها در مواردی که داده‌های با اندازه

DVI و PVI3(B1,2,3) در باندی شامل باندهای (PCA1) در روش‌های مختلف طبقه‌بندی، به عنوان بهترین مجموعه باندی استفاده شد. نتایج به دست آمده از طبقه‌بندی کننده‌های سخت نشان داد که تداخل طیفی زیادی بین کلاسه‌ها وجود دارد. اختلاف زیاد بین صحت‌های تولید کننده و صحت کاربر و کم بودن این مقادیر در مورد طبقه‌های میانی انبوهی (۱۰-۵، ۱۵-۱۰ و ۲۰-۱۵ درصد) بیانگر عدم طبقه‌بندی مطلوب این کلاسه‌های است. در مقابل برابری نسبی صحت‌های کاربر و تولید کننده در مورد طبقه ۵ نشان دهنده طبقه‌بندی خوب این کلاسه است. در طبقه‌بندی سه کلاسه‌ای جدید، صحت‌های تولید کننده و کاربر به نسبت افزایش یافتند و به هم نزدیک‌تر شدند. در طبقه‌بندی سه کلاسه‌ای، طبقه ۲ انبوهی (۵-۲۰ درصد)، در هر دو طبقه‌بندی نرم و سخت بیشترین ضریب کاپای طبقه به ترتیب ۰/۵ و ۰/۵۴ است و نشان دهنده طبقه‌بندی مطلوب این کلاسه در هر دو روش است. زیاد بودن مقدار صحت‌های کاربر و تولید کننده در طبقه ۲ نسبت به دیگر کلاسه‌ها و نیز نزدیک بودن مقدار آنها با یکدیگر، گویای این مطلب است که این کلاسه بهتر از دیگر کلاسه‌ها تفکیک شده است. طبقه یک انبوهی (۵-۰ درصد) به دلیل تشابه طیفی زیاد با خاک زمینه، در دو روش نرم و سخت، دارای کمترین ضریب کاپای طبقه به ترتیب ۰/۳۴ و ۰/۲۷ است. به رغم صحت کلی به نسبت خوب کسب شده در طبقه‌بندی با سه کلاسه انبوهی (۷۰ درصد)، به دلیل ضریب کاپای کم (۰/۴۴)، نتایج طبقه‌بندی را نمی‌توان چندان مطلوب ارزیابی کرد. تاکنون تحقیق مشابهی در جنگل‌های پسته وحشی کشور صورت نگرفته است، ولی در جنگل‌های شمال و غرب کشور، شاهد تحقیقات زیادی بوده‌ایم. نقشه‌های انبوهی که براساس داده‌های ماهواره‌ای در جنگل‌های شمال کشور تهیه شد (شاهبابایی، ۱۳۸۳؛ پاکخصال، ۱۳۸۵) دارای صحت کلی به ترتیب ۰/۴۱ و ۵۸/۱۹ و ۷۲ درصد و ضریب کاپای به ترتیب ۰/۴۱ و ۰/۵۱ بود و در جنگل‌های غرب (ساروئی، ۱۳۷۸؛ پرما، ۱۳۸۸) صحت کلی به ترتیب ۷۰ و ۷۵ درصد و ضریب کاپا به ترتیب ۰/۴۵ و ۰/۴۶ به دست آمد. تحقیق حاضر نیز نتایج مشابهی را گزارش می‌دهد، هر چند که ویژگی‌های جنگل خواجه کلات با آن جنگل‌ها متفاوت است. اندک بودن صحت حاصل از طبقه‌بندی با وجود استفاده از داده‌هایی با قدرت

ماهواره‌ای به روش رقومی، پایان‌نامه کارشناسی ارشد، دانشکده منابع طبیعی دانشگاه تهران، ۱۲۲ ص.

ساعی، موسی و علی آبکار، ۱۳۸۳. تهیه نقشه تراکم جنگل با استفاده از فناوری سنجش از دور، همایش ژئوماتیک، ۸۸، سازمان نقشه‌برداری کشور.

شاه‌بابایی، سعید، ۱۳۸۳. قابلیت داده‌های ماهواره‌ای رقومی در تهیه نقشه‌های تیپ و تراکم جنگل، پایان‌نامه کارشناسی ارشد، دانشگاه علوم کشاورزی و منابع طبیعی گرگان، ۵۶ ص.

علوی‌پناه، سید‌کاظم، ۱۳۸۲. کاربرد سنجش از دور در علوم زمین، انتشارات دانشگاه تهران، ۴۷۸ ص.

فدائی، هادی، ۱۳۸۶. بررسی کیفی بذر پسته وحشی، پایان‌نامه کارشناسی ارشد، دانشگاه تهران، ۸۱ ص.

لطیفی، هولمن، جعفر اولادی، سعید ساروئی و حمید جلیلوند، ۱۳۸۶. ارزیابی قابلیت داده‌های ماهواره‌ای ETM+ جهت تهیه نقشه طبقات پوششی جنگل-اراضی درختچه‌ای-مرتع، مطالعه موردی: حوزه نکا-ظالم‌رود-مازندران، مجله علوم و فنون کشاورزی و منابع طبیعی، ۴۰(۱۱): ۴۴۷-۴۳۹.

Amici, V., F. Geri & P. Csontos, 2010. Fuzzy and boolean forest membership: on the actual separability of land cover classes, *Applied Ecology and Environmental Research*, 8(1): 39-50.

Berberoglu, S. & O. Satir, 2008. Fuzzy Classification of Mediterranean type using ENVISAT MERIS data, The International Archives of the photogrammetry, Remote Sensing and Spatial Information Sciences, Vol. XXXVII, part B8.

Mcmahan, J.B., K.T. Weber & J. Sauder, 2003. Fuzzy classification of heterogeneous vegetation in a complex arid ecosystem, Proceedings of the VIIth International Rangelands Congress, 726-728.

Richards, J.A. & X. Jia, 2006. Remote Sensing Digital Image Analysis, An Introduction, 4th Edition, Springer-Verlag, 439p.

Wang, G., M. Holopainen & E. Lukkarinen, 1998. Data Fusion of Landsat TM and IRS Image in forest classification, Integrated Tools Proceedings, Boise, Idaho, USA. 654-663.

Xu, B., P. Gong & R. Pu, 2003. Crown closure estimation of oak savannah in a dry season with Lansat TM imagery: comparison of Various indices through correlation analysis, *International Journal of Remote Sensing*, 24(9): 1811-1822.

تفکیک متوسط سبب ایجاد پیکسل‌های مخلوط زیادی می‌شود، از روش طبقه‌بندی فازی استفاده کرد.

بر اساس نتایج این تحقیق، استفاده اجرایی از این نوع تصویر برای تهیه نقشه انبوهی جنگل‌های پسته توصیه نمی‌شود. البته جا دارد تحقیقات بیشتری با استفاده از داده‌های ماهواره‌ای با توان تفکیک طیفی بیشتر، تهیه واقعیت‌زنی در سطحی وسیع‌تر و با قطعه‌های کوچک‌تر و تعیین تاج‌پوشش به روش‌های کمی، صورت گیرد.

منابع

بی‌نام، ۱۳۸۸. طرح تجدید نظر مطالعات پوشش جنگل پسته خواجه‌کلات، اداره کل منابع طبیعی استان خراسان رضوی، ۱۳۹ ص.

پاک‌حصلال، الهام، ۱۳۸۵. طبقه‌بندی تراکم تاج‌پوشش جنگل با استفاده از داده‌های سنجش از دوری در حوزه شفارود گیلان، پایان‌نامه کارشناسی ارشد، دانشکده منابع طبیعی دانشگاه گیلان، ۱۰۴ ص.

پرما، روحانی، ۱۳۸۸. تهیه نقشه تراکم تاج‌پوشش با استفاده از تصاویر سنجنده III LISS ماهواره IRS-P6، همایش ژئوماتیک، ۸۹

خسرو‌جردی، ابراهیم، ۱۳۸۸. تأثیر عوامل فیزیوگرافی بر برخی خصوصیات کمی و کیفی درخت پسته وحشی (Pistacia Vera) در جنگل‌های خواجه‌کلات استان خراسان رضوی، فصلنامه علمی-پژوهشی تحقیقات جنگل و صنوبه ایران، ۱۷(۳): ۳۴۷-۳۳۷.

درویش‌صفت، علی‌اصغر، مهتاب پیر باوقار و منیژه رجب‌پور (مترجمان)، ۱۳۹۰. سنجش از دور برای مدیران GIS، انتشارات دانشگاه تهران، ۷۱۰ ص.

رجب‌پور، منیژه، ۱۳۸۷. بررسی توان داده‌های ماهواره SPOT5 برای تهیه نقشه انبوهی جنگل، پایان‌نامه کارشناسی ارشد، ۷۴ ص.

رفیعیان، امید، ۱۳۸۲. بررسی تغییرات گستره جنگل‌های شمال کشور، پایان‌نامه کارشناسی ارشد، دانشگاه تهران، ۱۲۲ ص.

ساروئی، سعید، ۱۳۷۸. بررسی امکان طبقه‌بندی جنگل به لحاظ تراکم در جنگل‌های زاگرس به کمک داده‌های

Investigation of the capability of IRS-P6-LIIS IV data for density mapping of pistachio forests (Case study: Khaje kalat forest in Khorasan)

F. Hosseini^{*1}, A.A. Darvishsefat² and N. Zargham³

¹M.Sc. Graduat, Faculty of Natural Resources, University of Tehran, I. R. Iran
^{2, 3}Prof. and Associate Prof., Faculty of Natural Resources, University of Tehran, I. R. Iran

(Received: 17 January 2011, Accepted: 5 May 2012)

Abstract

The aim of this study was to investigate the capability of IRS-P6-LIIS IV data for forest density mapping in the Pistachio forests. So LISS IV images (5 m), dated 2007 from Khaje Kalat (500ha) in Khorasan Razavi were analyzed. The geometric correction of images was implemented using nine control points extracted from an orthorectified image of the study area. The RMSE was less than one pixel. In addition to original bands, different synthetic bands from principal component analysis and transformation methods were created and used. The suitable bands set were selected by training areas and divergence indices. In order to assess the accuracy of classification results, a ground truth map covering 7% of the total area was prepared through fieldwork using 34 sample areas and canopy percent was estimated.

Satellite data were classified by supervised classification methods including minimum distance to mean (MD), maximum likelihood (ML) and fuzzy. There were spectral interferences between medium density classes (5-10%, 10-15% and 15-20%). Therefore these classes were merged. In hard supervised classification method, the highest overall accuracy and kappa coefficient, 67% and 0.40, respectively, were obtained by ML classifier with three classes (0-5%, 5-20% and > 20%). Using mode filter with a 7×7 pixel increased the accuracy up to 3%. The results of Fuzzy algorithm showed higher accuracy and kappa coefficient, 70% and 0.44, respectively. In both methods, second density class (5-20%) represented highest kappa coefficient. It could be concluded that the result of classification was not desirable regarding to low kappa, even if reaching to pretty good overall accuracy. To obtain a better result, it is suggested to use higher spectral resolution data and preparing fieldwork in smaller sample area and determining canopy percentage quantitatively.

Key words: IRS-P6-LIIS IV sensor, Ground truth, Density map, Pistachio forest, Classification.